



بررسی گسلش فعال و خطر گسترش شهرها در پیرامون گسل‌های زمین لرزه‌ای (مطالعه موردی: حوضه‌های شمال تبریز)

فریما کرمی: استاد ژئومورفولوژی، دانشگاه تبریز، تبریز، ایران*

مریم بیاتی خطیی: استاد ژئومورفولوژی، دانشگاه تبریز، تبریز، ایران

وصول: ۱۳۹۱/۳/۱۶ پذیرش: ۱۳۹۱/۱۲/۲۱، صص ۱-۲۰

چکیده

شهر تبریز یکی از چهار شهر بزرگ ایران و بزرگترین پایگاه جمعیتی منطقه شمال غرب کشور می‌باشد. این شهر روی یک گسل فعال تکتونیکی قرار دارد. لرزه‌خیزی این منطقه از همگرایی پوسته‌های قاره‌ای عربستان و اوراسیا ناشی می‌شود. نتیجه این حرکات وقوع زمین‌لرزه‌های بزرگ تا متوسط است. بطوری که شهرهای مستقردر این منطقه (مانند شهر تبریز) بارها بوسیله زمین‌لرزه‌های قوی ویران شده‌اند. این پژوهش سعی دارد ضمن مرور وضعیت لرزه خیزی و سایزمو-تکتونیکی منطقه، به ارزیابی تکتونیک فعال با استفاده از شاخص‌های ژئومورفیک در حوضه‌های زهکشی و رکش‌چای، گمناب چای و نهندچای که در شمال شهر تبریز قرار دارند، پیراذد و خطر گسترش شهر را در پیرامون گسل‌های زمین‌لرزه‌ای (مانند گسل تبریز) یادآوری نماید. برای این منظور از داده‌های زمین‌لرزه‌ای تاریخی و لرزه نگاری دستگاهی شمال‌غرب کشور استفاده شد. برای ارزیابی فعالیت‌های نتو-تکتونیکی نیز از ۶ شاخص‌های ژئومورفیک شامل نسبت پهنه‌ای کف دره به ارتفاع آن (VI) و نسبت شکل حوضه (Bs)، شاخص شب طولی رودخانه (SL)، عدم تقارن حوضه (AF)، عامل تقارن توبوگرافی (T) و شاخص سینوسی رودخانه (S) استفاده شد. ارزیابی تسبیب فعالیت‌های تکتونیکی نیز با استفاده از شاخص (Iat) انجام شد. بررسی وضعیت لرزه خیزی گسل تبریز نشان می‌دهد که میزان لغزش راستگرد این گسل می‌تواند زمین‌لرزه‌های به بزرگی ۷/۳-۷ ریشتر با دوره برگشت ۳۰۰-۵۰۰ سال را به همراه داشته باشد. نتیجه تحلیل شاخص‌های ژئومورفیک در حوضه‌های شمال تبریز، فعالیت تکتونیکی زیاد منطقه را نشان می‌دهد. به این ترتیب، شهر تبریز در یک منطقه مخاطره آمیزی از نظر حرکات تکتونیکی واقع شده است. این امر می‌بایست در مباحث برنامه‌ریزی و توسعه شهری و اجرای برنامه‌های عمرانی مورد توجه مسئولین شهری قرار گیرد.

واژه‌های کلیدی: گسلش فعال، شاخص‌های ژئومورفیک، گسل‌های زمین‌لرزه‌ای، حوضه‌های شمال تبریز

مقدمه

دارد که امتداد آن از فلات آناتولی ترکیه تا سیستم

شهر تبریز یکی از چهار شهر بزرگ ایران با جمعیتی

البرز کشیده شده است (سیاهکلی مرادی و همکاران،

بیش از ۱/۵ میلیون نفر، بزرگترین پایگاه جمعیتی

(۲۰۱۱، ۲۲)

منطقه شمال غرب کشور محسوب می‌شود. در

تکتونیک فعال در ایران و منطقه شمال غرب کشور

نرديکی شهر تبریز، یک گسل فعال تکتونیکی قرار

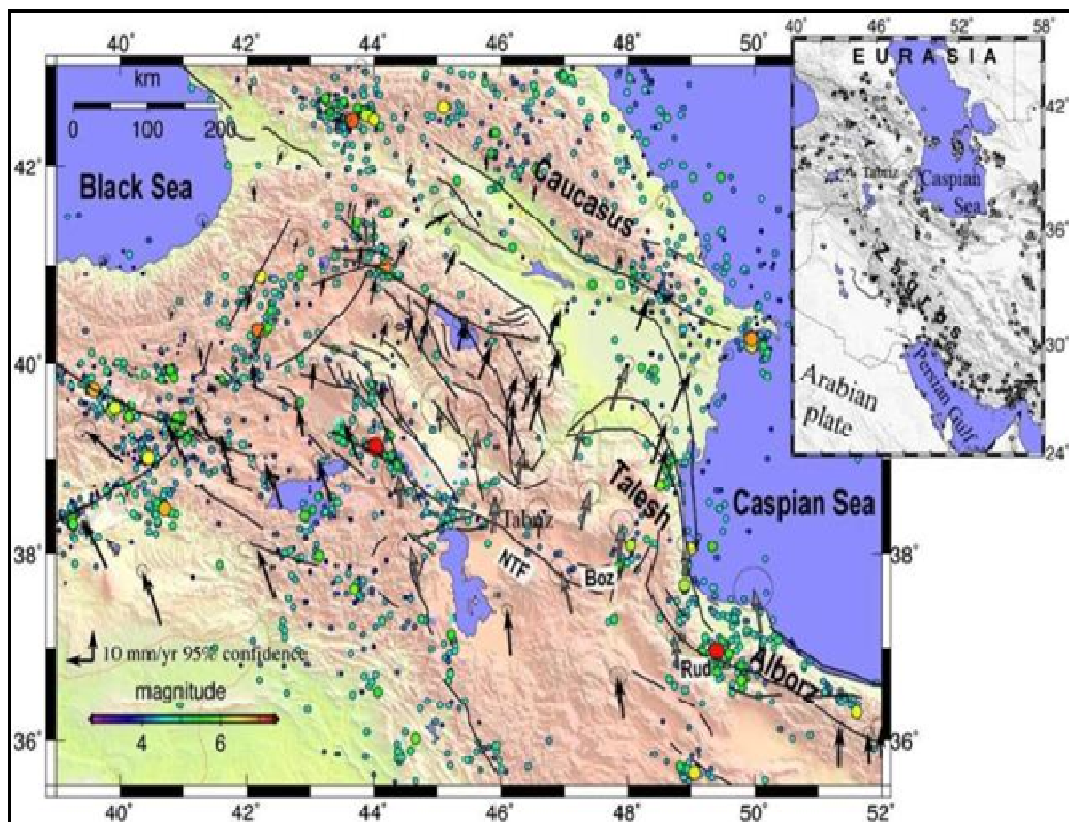
(آذربایجان) از همگرایی پوسته‌های قاره‌ای عربستان و

*نویسنده مسؤول:

E-mail: fkarami@tabriau.ac.ir

برآورد کردند. بدلیل ویژگی‌های فوق، منطقه یاد شده از پهنه‌های بسیار لرزه‌خیز می‌باشد. در این زمینه آقانباتی (۲۵، ۱۳۸۷) معتقد است که در بیشتر نقاط ایران زلزله‌خیزی پیوندی باز با تجدید فعالیت گسل‌ها دارد و بیشترین تکاپوی لرزه‌خیزی ایران، مدیون رها شدن انرژی‌های متمنکز در امتداد گسل‌هاست.

اوراسیا ناشی می‌شود(شکل ۱). این همگرایی باعث حرکت روبه شمال صفحه عربستان به سمت پوسته اوراسیا و فشردگی سپر فلات ایران بین دو صفحه می‌شود (مارتینی (Martini) و همکاران، ۱۹۹۸، ۱۸۷) و ریلینجر و همکاران (۲۰۰۶) و جامور (Djamour) و همکاران (۲۰۱۱) حرکت روبه شمال صفحه عربستان به سمت سپر اوراسیا را به میزان ۱۷ میلی‌متر در سال



شکل ۱- حرکت روبه شمال سپر ایران (جامور و همکاران، ۲۰۱۱)

در شمال غرب کشور، گسل‌های مهمی وجود دارند که از دیدگاه تکتونیکی اهمیت بسیار زیادی دارند. از مهمترین گسل‌های آذربایجان که در تکامل ساختاری آن نقش اساسی ایفا کرده است، گسل شمال تبریز

منطقه شمال غرب ایران (آذربایجان)، شرق ترکیه و قفقاز یکی از پیچیده ترین مناطق برخورد سپرهاي عربی - اوراسیا هستند. بطوری که شهرهای مستقر در این منطقه (مانند شهر تبریز، خوی و غیره) بارها بوسیله زمین‌لرزه‌های قوی ویران شده‌اند.

امتداد این گسل انجام شده است. برای مثال، بربیریان (۱۹۹۷) و کارخانیان و همکاران (۲۰۰۴ و ۲۰۰۲)، نقشه گسل‌های فعال جنوب ارمنستان و شمال غرب ایران را کامل کردند و امتداد گسل‌های فعال اصلی را در این منطقه قطعه‌بندی کردند. حسامی و جمالی (۲۰۰۶) در بررسی گسل‌های فعال اصلی ایران به ارزیابی گسل شمال تبریز به عنوان یکی از گسل‌های

فعال در شمال‌غرب کشور پرداختند.

زارع (۱۳۸۰) در مطالعه‌ای در مورد ساخت و ساز در حریم گسل تبریز، با توجه به اهمیت شهر تبریز در شمال‌غرب ایران، سابقه لرزه‌خیزی آن و وجود نهشته‌های مارنی – رسی و پتانسیل وقوع زمین‌لغزش در منطقه، ساخت و ساز در حدود ۲۰۰۰ متری از محور پهنه گسل را مخاطره آمیز می‌داند.

پورکرمانی و صدیق (۱۳۸۲) شواهد ژئومورفولوژیکی متنوعی را در محدوده این گسل تبریز شناسایی کردند که حاصل تکتونیک فعال است. این شواهد شامل پشتله‌های فشاری و مسدود کننده، جابجایی و قطع شدگی آبراهه‌ها، پرتگاه گسلی، دره‌های گسلی و غیره می‌شوند.

کرمی (۱۳۹۱) با استفاده از روش‌های مورفو‌متري به ارزیابی نسبی تکتونیک فعال در حوضه‌های شمالی و شرقی کوه سهند اقدام کرد. نتیجه مطالعه نشان داد فعالیت تکتونیکی حوضه‌های شمالی سهند از گسل تبریز متأثر می‌شوند و حوضه‌های شرقی از گسل‌های فرعی منطقه تأثیر می‌پذیرند.

با وجود مطالعات متعدد و ارزشمند در این زمینه، مطالعه حاضر بررسی تحلیل‌های مورفو‌متري امتداد

(NTF)^۱ است. این گسل با وقوع حداقل ۱۶ زمین‌لرزه تاریخی، به عنوان گسلی زمین لرزه‌ای^۲ و فعال تلقی می‌شود (زارع، ۱۳۸۰، ۴۶).

با توجه به قدامت تاریخی شهر تبریز و تجربه زمین‌لرزه‌های تاریخی متعدد که دوازده بار به تخریب کامل آن منجر شده، این شهر در دهه‌های اخیر شتابزده در حال توسعه است و اکثرآ توسعه فیزیکی شهر به سمت شمال (پیرامون گسل تبریز در پایکوههای ارتفاعات شمالی) هدایت می‌شود. این در حالی است که طبق اعلام مسئولین شهر، شهر تبریز دارای رتبه دوم بلندمرتبه‌سازی در کشور است (www.Farsnews.com/1389/6/25).

این پژوهش سعی دارد، با استفاده از شاخص‌های ژئومورفیک در حوضه‌های زهکشی و رکش‌چای، گماناب چای و نهنده‌چای که در شمال شهر تبریز قرار دارند، ضمن ارزیابی تکتونیک فعال در منطقه، خطر گسترش شهر را در پیرامون گسل‌های زمین لرزه ای یادآوری نماید.

بدلیل اهمیت گسل تبریز در شمال‌غرب کشور و همچنین استقرار شهر تبریز و شهرها و روستاهای زیاد در پیرامون این گسل، مطالعات تکتونیکی زیادی در

1-North Tabriz Fault

گسل زمین لرزه ای (Earthquake Faults) : نوعی شکستگی زمین است که در اثر زمین‌لرزه کم ژرف تولید شده باشد و بطور کلی با تجدید حرکت دوباره گسل‌های پیشین همراه است. گسیختگی‌های سطح زمین که در طی زمین‌لرزه‌های بزرگ ۵۰۰ ساله اخیر در مناطق مختلف ایران ایجاد شده‌اند به این گروه تعلق دارند. این واقعیت گویای آن است که این گسل‌های زمین لرزه‌ای پتانسیل فعالیت مجدد در آینده را دارند (حسامی و همکاران، ۱۳۸۲).

است (شکل ۴). در امتداد گسل تبریز گسل‌های دیگری از آن منشعب شده‌اند. گسل‌های فرعی منشعب از گسل تبریز در رسوبات جوان کواترنری آشکارا دیده می‌شوند، جابجایی این گسل‌ها در رسوبات جوان کواترنری از $1/5\text{--}9$ متر دیده شده است (سازمان زمین‌شناسی، ۱۳۷۲). همچنین بیشتر گسل‌های منطقه از راستای گسل تبریز پیروری می‌کنند. واحدهای لیتولوژی شمال منطقه از سنگ‌های کرتاسه بویژه تنابی از شیل، مارن، ماسه سنگ (فلیش گونه) تشکیل شده است و در جنوب منطقه اغلب سازندهای میوسن (ماسه سنگ و مارن قرمز) و کواترنر گسترش دارند (شکل ۳).

مواد و روش‌ها

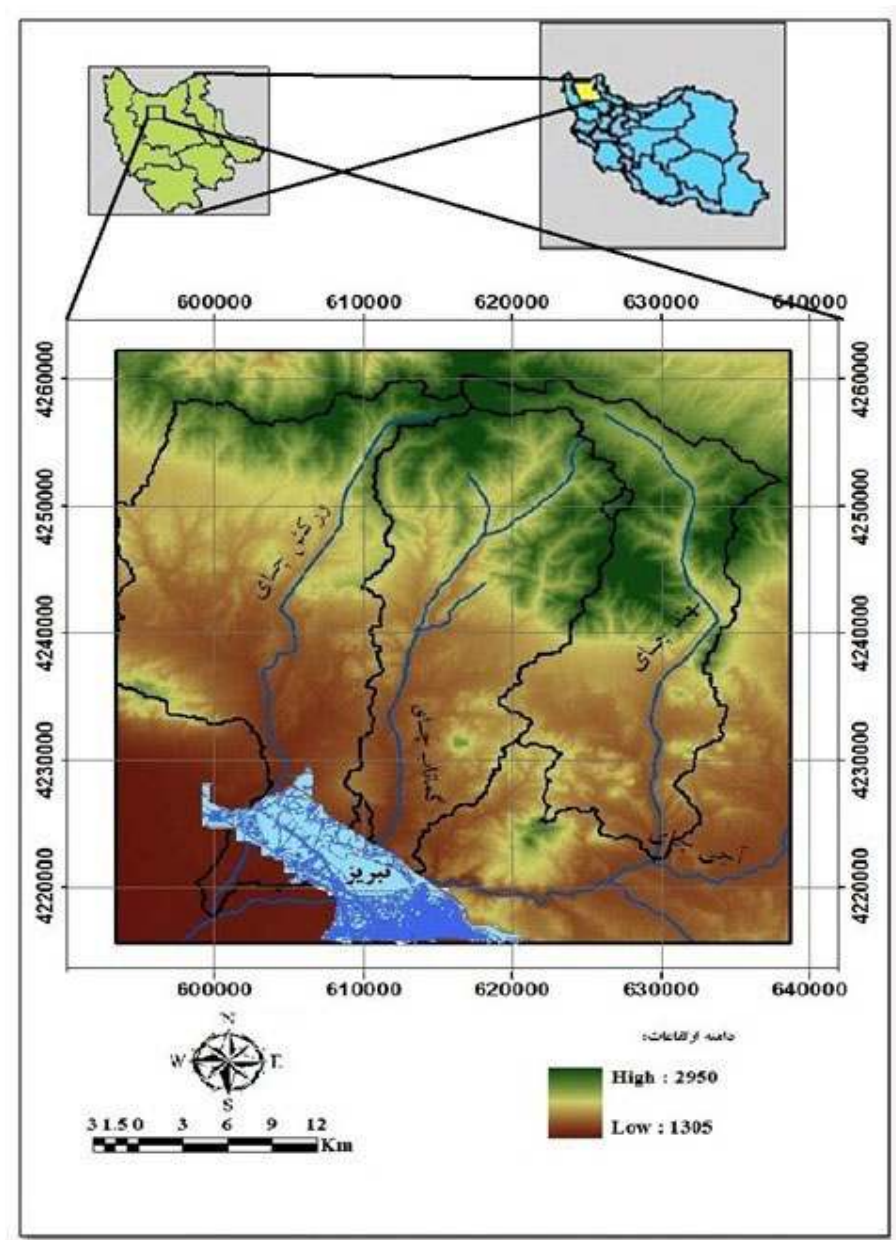
برای انجام پژوهش مدل رقومی ارتفاع (DEM) منطقه تهیه شد. از نقشه‌های زمین‌شناسی $1:100000$ تبریز و خوجا برای مطالعه ساختار زمین‌شناسی و لیتولوژی استفاده شد. داده‌های مهلزهای و لرزه نگاری دستگاهی شمال‌غرب کشور (شبکه لرزه‌نگاری سازمان ژئوفیزیک دانشگاه تهران، ۲۰۱۱) نیز برای بررسی وضعیت لرزه خیزی منطقه مورد بررسی قرار گرفت.

گسل تبریز را صرفاً به سه حوضه زهکشی در شمال شهر تبریز محدود کرده تا ضمن بررسی گسل‌ش فعال در این منطقه، یکبار دیگر خطر گسترش شهر را پیرامون گسل تبریز یادآوری نماید.

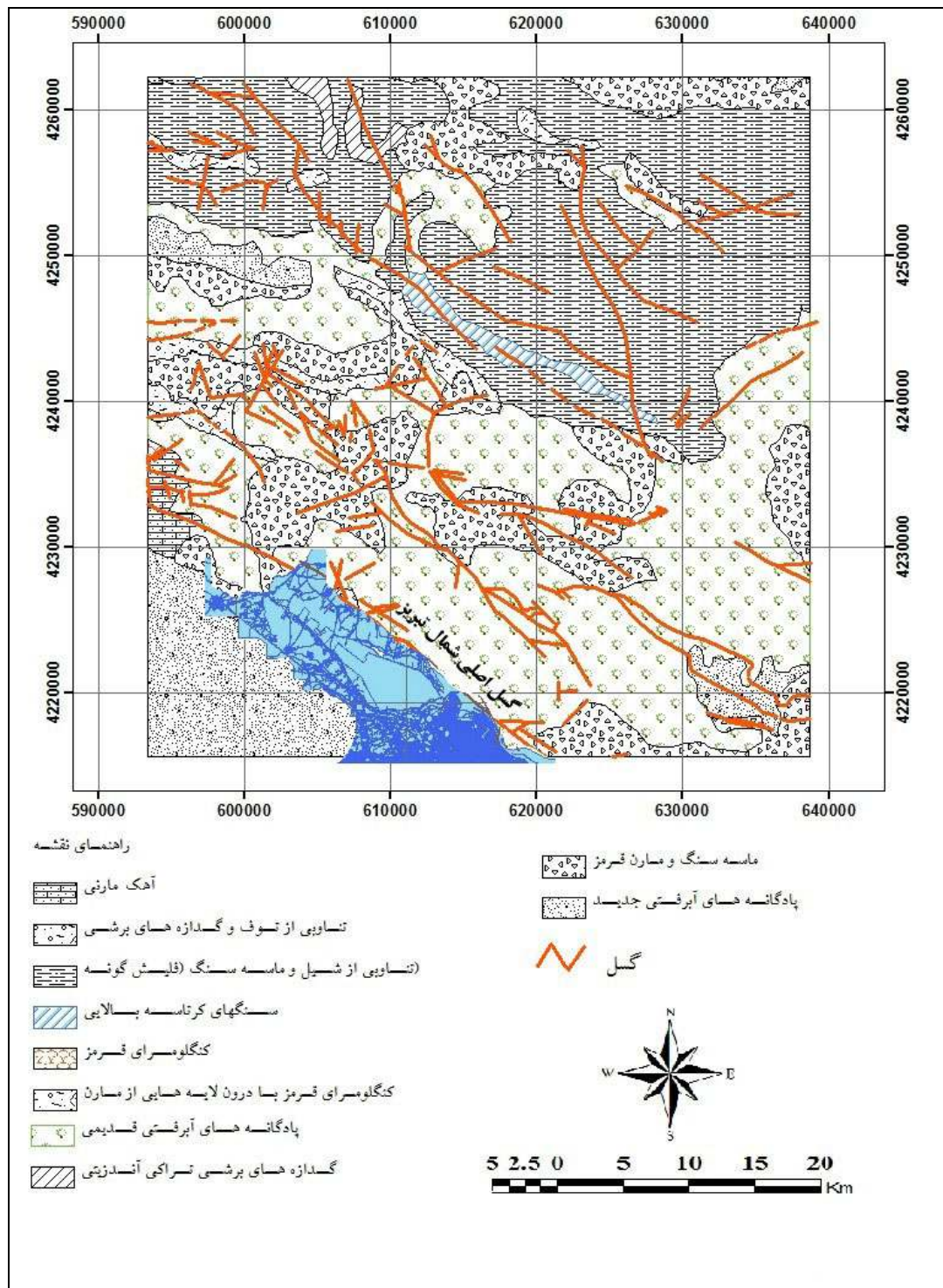
مشخصات جغرافیایی حوضه‌های زهکشی مورد مطالعه

منطقه مورد مطالعه به وسعت 1258 کیلومترمربع در شمال شرقی دریاچه ارومیه و شمال شهر تبریز واقع شده است (شکل ۲). محدوده این منطقه در دامنه‌های جنوبی قره داغ (آذربایجان) قرار دارد. مشخصات جغرافیایی این منطقه $27^{\circ}29' - 38^{\circ}31'$ عرض شمالی و $46^{\circ}46' - 46^{\circ}54'$ طول شرقی می‌باشد و شامل حوضه‌های زهکشی ورکش-چای، گماناب چای و نهنده‌چای می‌شود که هر سه در شمال تبریز به آجی‌چای می‌پیوندند. شهر تبریز در جنوب این حوضه‌ها قرار دارد.

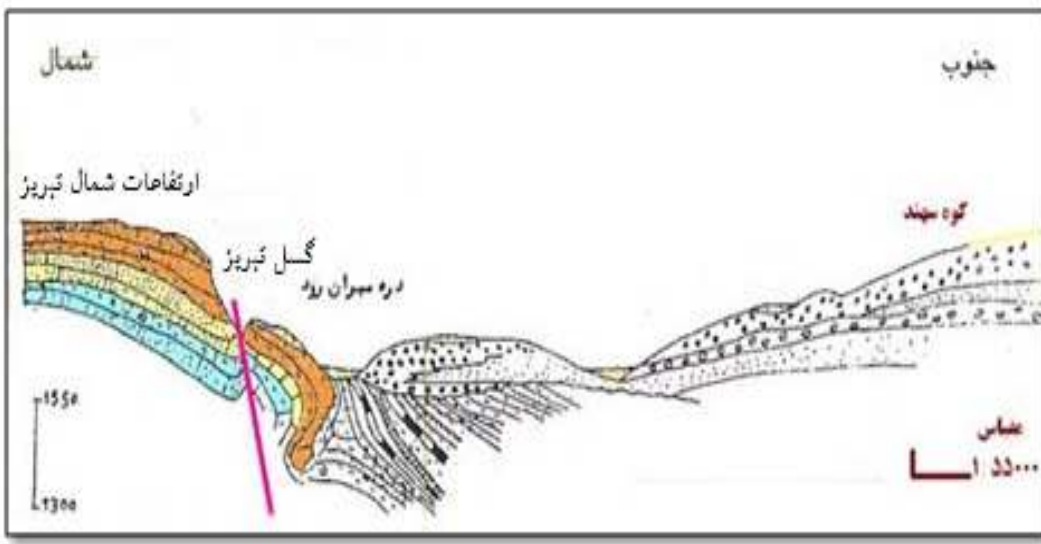
گسل شمال تبریز با امتداد شمال‌غربی - جنوب‌شرقی از جنوب حوضه‌های مورد مطالعه و شمال شهر تبریز عبور می‌کند (شکل ۳). حرکات این گسل در گذشته باعث پایین افتادگی بخش جنوبی (دشت تبریز) و بالا‌آمدگی بخش شمالی (ارتفاعات شمال تبریز) شده



شکل ۲- نقشه موقعیت جغرافیایی حوضه‌های زهکشی شمال تبریز، مأخذ نگارندگان



شکل ۳- نقشه زمین شناسی حوضه های شمال تبریز (با تغییراتی از سازمان زمین شناسی، ۱۳۷۲)



شکل ۴- مقطع زمین شناسی از دشت تبریز (سوگرا، ۱۳۵۲)

هر یک از شاخص‌ها را از نظر فعالیت تکتونیکی ارائه کرده است.

برای ارزیابی نسبی فعالیت تکتونیکی نیز شاخص I_{at} ^۲ مورد استفاده قرار گرفت. این شاخص از متوسط کلاس‌های مختلف شاخص‌های ژئومورفیک و از رابطه (۱) بدست می‌آید.

$$I_{at} = S / n \quad (1)$$

I_{at} = شاخص فعالیت نسبی تکتونیک، S = مجموع کلاس‌های شاخص‌های ژئومورفیک محاسبه شده، n = تعداد شاخص‌های محاسبه شده است. طبقات مختلف شاخص I_{at} در جدول (۳) ارائه شده است. پس از محاسبه شاخص I_{at} ، وضعیت نسبی فعالیت تکتونیکی هر یک از حوضه‌های زهکشی منطقه مطالعه مشخص می‌شود.

در این پژوهش برای ارزیابی فعالیت‌های نئوتکتونیکی از شاخص‌های ژئومورفیک استفاده شد. شاخص‌های ژئومورفیک ابزاری برای تحلیل اشکال زمینی و ارزیابی میزان فعالیت‌های تکتونیکی در یک منطقه می‌باشد (مالیک و موهنتی^۱، ۲۰۰۷).

در این پژوهش ^۶ شاخص ژئومورفیک شامل نسبت پهنای کف دره به ارتفاع آن (Vf)^۳ نسبت شکل حوضه (Bs)، شاخص شب طولی رودخانه (SL)، عدم تقارن (Af)، عامل تقارن توپوگرافی (T) و شاخص حوضه (AF)، عامل تقارن سینوسی رودخانه (S) استفاده شد. چون اکثر این شاخص‌ها برای حوضه‌های زهکشی محاسبه می‌شوند به همین دلیل، پس از برآورد شاخص‌های ژئومورفیک در منطقه مورد مطالعه و تعیین کلاس آنها، ارزیابی نسبی فعالیت‌های تکتونیکی با استفاده از شاخص I_{at} (Iat) انجام شد. جدول (۱) شاخص‌های مورد استفاده در این مطالعه را معرفی می‌کند. جدول (۲) نیز طبقات

2-Index of relative active tectonic (I_{at})

1-Malik and Mohanty

جدول ۱- شاخص‌های مورد استفاده برای ارزیابی تکتونیک فعال در حوضه‌های شمال تبریز (همدونی و همکاران، ۲۰۰۸، ۱۶۹)

شاخص‌ها	معادله	معادله	روش اندازه‌گیری
نسبت پهنهای کف دره به ارتفاع آن ^۱ (Vf)	$= 2 V_{fw} / [(E_{ld} - V_f) + (E_{rd} - E_{sc})]$	$= \frac{V_{fw}}{E_{ld} - E_{sc}}$ = ارتفاع متوسط خط تقسیم آب در سمت چپ و راست دره = ارتفاع متوسط کف دره از سطح آب‌های آزاد	
شاخص شیب طولی رودخانه ^۲ (SI)	$SI = (\Delta H / \Delta L) L$	$\Delta H = \text{اختلاف ارتفاع قطعه مورد نظر}$ $\Delta L = \text{طول شاخه مورد نظر}$ $L = \text{مجموع طول آبراهه از نقطه‌ای که شاخص محاسبه می‌شود}$	
نسبت شکل حوضه زهکشی ^۳ (Bs)	$Bs = Bl / Bw$	$Bl = \text{اندازه طول حوضه از انتهایی ترین قسمت آب تا خروجی حوضه}$ $Bw = \text{پهنهای حوضه در پهن‌ترین قسمت}$	
شاخص عدم تقارن حوضه زهکشی ^۴ (AF)	$AF = 100(Ar / At)$	$Ar = \text{مساحت حوضه در سمت راست آبراهه اصلی (بطرف پایین دست حوضه)}$ $At = \text{مساحت کل حوضه}$	
عامل تقارن توپوگرافی ^۵ (T)	$T = Da / Dd$	$T = \text{عامل تقارن توپوگرافی}$ $Da = \text{فاصله نوار (کیلومتر) مابین خط میانی حوضه تا خط میانی روپیچ فعال}$ $Dd = \text{فاصله خط میانی حوضه تا مرز حوضه (کیلومتر).}$	
شاخص سینوسی رودخانه (S)	$S = C / V$	$S = \text{شاخص پیچ و خم رودخانه اصلی}$ $C = \text{طول رودخانه (کیلومتر)}$ $V = \text{طول دره به خط مستقیم (کیلومتر)}$	

کلاس ۱) = فعال، کلاس ۲) = نسبتاً فعال و کلاس ۳) = فعالیت کم

- 1- Ratio of valley – floor with to vally height (vf)
- 2- Stream Length Gradiant Index(SL)
- 3- Drainage Basin Shape Ratio(Bs)
- 4- Asymmetry Factor(AF)
- 5- Topographic Symmetry Factor (T)

جدول ۲- طبقات شاخص‌های ژئومورفیک از نظر فعالیت‌های تکتونیکی (همدونی و همکاران، ۱۴۰۸، ۲۰۰۸)

کلاس ۳: (کم فعال)	کلاس ۲: (نسبتاً فعال)	کلاس ۱: (فعال)
$V_f > 1$ $SI < 300$ $[Af - 50] < 7$ $T=0$ $S > 1.5$ $Bs < 3$	$V_f 0.5 - 1$ $SI: 300-500$ $[Af - 50]: 7-15$ $T= 0.5$ - $Bs : 3-4$	$V_f < 0.5$ $SI \geq 500$ $[Af - 50] > 15$ $T=1$ $S < 1.5$ $Bs > 4$

جدول ۳- طبقات شاخص Iat و فعالیت هر کلاس (همدونی و همکاران، ۱۴۰۸، ۲۰۰۸)

کلاس ۴	کلاس ۳	کلاس ۲	کلاس ۱
> ۲/۵	۲-۲/۵	۱/۵-۲	۱-۱/۵
فعالیت تکتونیکی کم	فعالیت تکتونیکی متوسط	فعالیت تکتونیکی زیاد	فعالیت تکتونیکی خیلی زیاد

تبریز را لرزاند در ۱۷۸۶ و ۱۷۸۰ میلادی به ترتیب با بزرگی $7/3$ و $6/3$ ریشتر بودند(بربریان و یتسن، ۱۹۹۹)، این وضعیت پاتنسیل رخداد زمین‌لرزه مهمی را در گسل تبریز در ۵۰ سال آینده نشان می‌دهد (جامور و همکاران، ۲۰۱۱، ۳۳).

نقشه توزیع کانون زمین‌لرزه‌های منطقه ارتباط زلزله‌ها را با گسل‌های فعال منطقه نشان می‌دهد (شکل ۵). طبق این نقشه، محل وقوع اغلب زلزله‌ها در نزدیکی گسل تبریز می‌باشدند. همچنین تراکم کانون زمین‌لرزه‌ها بصورت خوش در دو انتهای گسل بیشتر است. یک خوش تراکم دیگر نیز در نزدیکی شهر تبریز دیده می‌شود.

مقاطع B نیز بخش میانی گسل تبریز را در شمال شهر تبریز از نظر عمق زمین‌لرزه‌ها نمایش می‌دهد، قابل ذکر است مقطع B2-B2' دقیقاً از منطقه مورد مطالعه عبور می‌کند. براساس این مقاطع، عمق بیشتر زمین‌لرزه‌های منطقه در حدود ۲۰ کیلومتری سطح زمین می‌باشد که در ردیف زمین‌لرزه‌های کم ژرف (کمتر از ۷۰ کیلومتر) قرار می‌گیرند. قرارگیری فلات ایران و

بحث و تحلیل

لرزه خیزی منطقه شمال غرب

گسل تبریز با جهت NW-SE یک گسل امتداد لغز است که لغزش راستگرد آن 1 ± 7 میلی‌متر در سال ۲۰۰۵ بوسیله ایستگاه‌های GPS نصب شده از سال ۲۰۰۵ میلادی بدست آمده است. این میزان لغزش می‌تواند زمین‌لرزه‌های به بزرگی $7/3$ - $7/3$ ریشتر با دوره برگشت ۲۵۰-۳۰۰ سال را به همراه داشته باشد (جامور و همکاران، ۲۰۱۱، ۲۷). مطالعات GPS قبلی مانند نیلوفرشان و همکاران (۲۰۰۳)، ورنانت^۱ و همکاران (۲۰۰۴)، ماسون^۲ و همکاران (۲۰۰۶) و ماسون و همکاران (۲۰۰۷) هم حرکت امتداد لغز راستگرد گسل تبریز را ۸ میلی‌متر در سال محاسبه کردند.

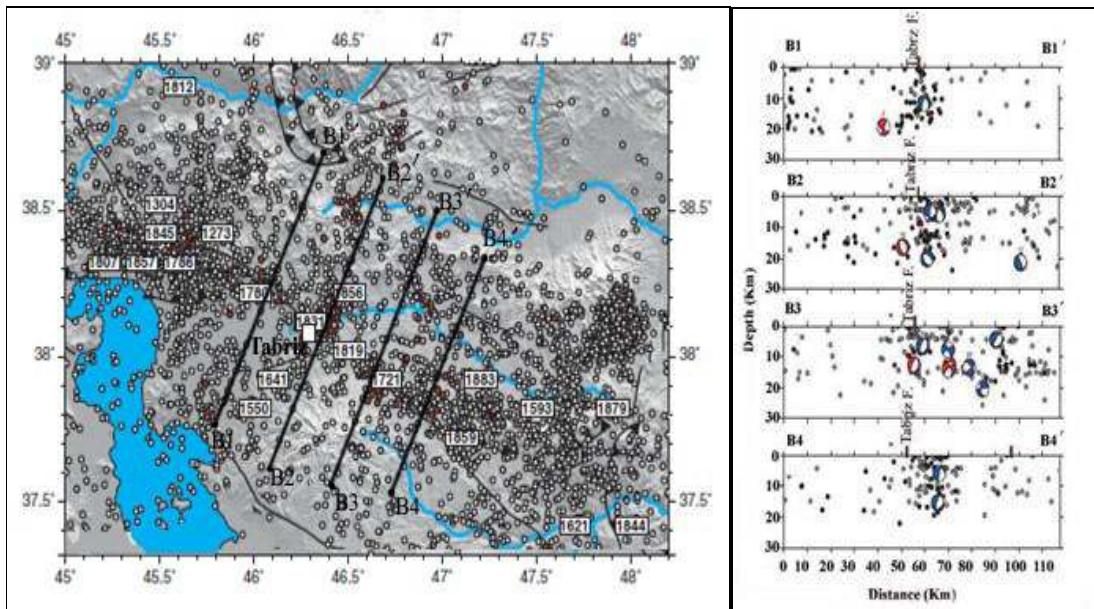
به نظر می‌رسد مقادیر محاسبه‌ای با زمین‌لرزه‌های تاریخی گسل تبریز در سال‌های ۸۵۸، ۱۰۴۲، ۱۲۷۳، ۱۷۸۰، ۱۷۸۱، ۱۷۲۱، ۱۶۴۱، ۱۳۰۴، و ۱۷۸۶ میلادی مطابقت داشته باشند. آخرین زمین‌لرزه‌های بزرگی که شهر

1- Vernant
2- Masson

همچنین از نتایج آزمایشات اطراف تهران هم خیلی متفاوت نیست (اشتری و همکاران، ۲۰۰۵). اما عمق زلزله‌های تبریز خیلی عمیق‌تر از زمین‌لرزه‌های مشاهده شده در زاگرس هستند (یمانی فرد و همکاران، ۲۰۰۶).

پهنه آذربایجان در نواحی درون پلیتی و دور از لبه‌های صفحات تکتونیکی می‌تواند توجیه کننده عمق زمین‌لرزه‌ها در این منطقه باشد.

این عمق به زمین‌لرزه‌های منطقه رودبار خیلی شبیه است (تاتار و هتزفلد (Tatar and Hatzfeld، ۲۰۰۹).



شکل ۵- نقشه تراکم کانون زمین‌لرزه‌ها در شمال غرب ایران و پیرامون گسل تبریز (سمت راست) و محل مقاطع ترسیمی در امتداد گسل (سمت چپ) با تغییراتی از سیاهکلی مرادی و همکاران (۲۰۱۱)

(شکل V) متفاوت است. معمولاً مقادیر زیاد شاخص (Vf) در دره‌های با کف پهن، پایداری سطح اساس و میزان کم بالا آمدگی جبهه کوهستان را مشخص می‌کند. در این وضعیت، رود پهنه‌ای بستر خود را فرسایش داده و بطور گسترده پهنه‌ای بستر دره افزایش پیدا می‌کند.

جدول (۴) مقادیر شاخص (Vf) را برای حوضه‌های زهکشی ورکش‌چای، گماناب‌چای و نهنده‌چای نشان می‌دهد. شاخص (Vf) در یک کیلومتری بالادست جبهه کوهستان قطعه شمال تبریز، دره‌های U شکلی را ارائه می‌دهد که پهنه‌ای کف آنها زیاد است و

تحلیل شاخص‌های ژئومورفیک در منطقه

در حوضه‌های مورد مطالعه، اندازه‌گیری کمی چشم-اندازها براساس محاسبه شاخص‌های ژئومورفیک و با استفاده از نقشه‌های توپوگرافی، تصاویر ماهواره‌ای و مطالعات میدانی انجام شد. بهاین ترتیب، نتایج چندین شاخص می‌تواند در تعیین فعالیت تکتونیکی مشارکت کرده و ارزیابی نسبی از میزان فعالیت تکتونیکی در منطقه ارائه دهد.

نسبت پهنه‌ای کف دره به ارتفاع آن
میزان این شاخص در دره‌های با بستر پهن و دیوارهای مرتفع (U شکل) نسبت به دره‌های شیبدار

شاخص (Vf) در طبقه ۳ از نظر فعالیت‌های تکتونیکی قرار می‌گیرند.

دیوارهای شیبداری دارد. از اینرو حوضه‌های آبریز ورکش‌چای، گماناب‌چای و نهنده‌چای، براساس

جدول ۴- مقادیر شاخص (Vf) در حوضه‌های شمال تبریز و طبقات آنها از نظر فعالیت‌های تکتونیکی

ردیف	حوضه‌ها	V _{fw} (m)	E _{sc} (m)	E _{rd} (m)	E _{ld} (m)	Vf	کلاس
۱	ورکش‌چای	۲۵۰	۱۴۰	۱۴۴۵	۱۴۳۵	۶/۲	۳
۲	گماناب‌چای	۱۰۰	۱۴۰۰	۱۴۳۶	۱۴۷۴	۱/۸	۳
۳	نهنده‌چای	۱۵۰	۱۰۰۰	۱۶۰۵	۱۶۱۰	۱/۴	۳

ماخذ: نگارنده‌گان

نتایج نشان می‌دهند حوضه نهنده‌چای ($[AF-50] = 15/7$) (50) در کلاس یک فعالیت تکتونیکی قرار می‌گیرد. به این ترتیب، شاخص مزبور کج شدگی نهنده‌چای را در منطقه آشکار می‌سازد. حوضه ورکش‌چای ($= 14/4$) ([AF-50]) و حوضه گماناب‌چای ($= 7/13$) از نظر فعالیت تکتونیکی در کلاس ۲ طبقه بندی می‌شوند. در حوضه نهنده‌چای و حوضه ورکش‌چای آبراهه‌های کشیده‌تر در طرف چپ رودخانه اصلی جریان دارند.

شاخص عدم تقارن حوضه زهکشی

عامل عدم تقارن شاخصی است که برای ارزیابی کج شدگی تکتونیکی حوضه‌های زهکشی مورد استفاده قرار می‌گیرد (کلر و پیتر، ۱۲۶، ۲۰۰۲). مقادیر کمتر یا بیشتر از ۵۰ عدم تقارن رودخانه را نشان می‌دهند. این وضعیت یا از ساختار لیتولوژی حوضه ناشی می‌شود و یا به دلیل تکتونیک فعال در منطقه می‌باشد. جدول (۵) مقادیر شاخص (AF) را با در نظر گرفتن شاخه اصلی رودخانه‌ها در حوضه‌های زهکشی ورکش‌چای، گماناب‌چای و نهنده‌چای ارائه داده است.

جدول ۵- مقادیر شاخص (AF) در حوضه‌های شمال تبریز و طبقات آنها از نظر فعالیت تکتونیکی

ردیف	حوضه‌ها	A _r (Km ²)	A _t (Km ²)	[AF-50]	کلاس
۱	ورکش‌چای	۱۸۱/۸	۵۱۰	۱۴/۴	۲
۲	گماناب‌چای	۲۲۹/۷	۴۰۲	۷/۱۳	۲
۳	نهنده‌چای	۱۱۸/۶	۳۴۶	۱۵/۷	۱

ماخذ: نگارنده‌گان

پارامترهای مورد نیاز شاخص تقارن توپوگرافی معکوس، مقادیر Dd و Da در ۷ مقطع در طول رودخانه‌های اصلی حوضه‌های زهکشی ورکش‌چای، گماناب‌چای و نهنده‌چای محاسبه شدند. جدول (۶) مقادیر شاخص (T) را در حوضه‌های مورد مطالعه ارائه داده است.

شاخص تقارن توپوگرافی معکوس

شاخص کمی دیگر برای ارزیابی عدم تقارن حوضه، عامل تقارن توپوگرافی معکوس (T) است. میزان این شاخص برای حوضه‌های کاملاً متقارن $T = 0$ می‌باشد. با افزایش عدم تقارن، شاخص (T) افزایش یافته و در نهایت به ۱ نزدیک می‌شود. برای برآورد

و از اینجایی که مقادیر محاسبه شده به عدد ۱ نزدیکتر هستند، از اینرو از نظر حرکات تکتونیکی، فعال می‌باشند.

مقادیر شاخص (T) در حوضه‌های شمال تبریز، با نزدیکی به عدد ۱ بیانگر عدم تقارن رودخانه‌های منطقه هستند. براساس این شاخص، حالت عدم تقارن نهندچای ($T = 0.7$) بیشتر از سایر رودخانه‌ها می‌باشد.

جدول ۶- محاسبه شاخص (T) در حوضه‌های شمال تبریز و طبقات آنها از نظر فعالیت تکتونیکی

ردیف	حوضه‌ها	Da(Km)	Dd (Km)	T	کلاس
۱	ورکش چای	۳/۵	۹	۰/۳۸	
		۴	۸/۵	۰/۴۷	
		۵	۸/۷۵	۰/۵۷	
		۵/۵	۷/۵	۰/۷۳	
		۷	۸	۰/۸۸	
		۳/۷	۵/۷	۰/۶۵	
		۶/۵	۸/۶	۰/۷۵	
	میانگین		۰/۶۳		
۱	گماناب چای	۱/۱	۱/۶	۰/۶۸	
		۱	۱/۵	۰/۶۶	
		۱/۷۵	۴	۰/۴۴	
		۳/۷۵	۶	۰/۶۳	
		۲/۲۵	۶	۰/۳۸	
		۲/۵	۷/۵	۰/۵۴	
		۴/۳	۵/۷	۰/۷۵	
	میانگین		۰/۶		
۱	نهندچای	۱/۳۶	۲	۰/۶۸	
		۰/۹۵	۳	۰/۳۱	
		۲/۷	۴/۷۵	۰/۵۳	
		۴/۷۵	۵	۰/۹۵	
		۳/۶	۵	۰/۷۲	
		۱	۱/۵	۰/۶۶	
		۳/۹	۵	۰/۷۸	
	میانگین		۰/۶۷		

ماخذ: نگارنگان

انرژی رودخانه به پهن شدگی و توسعه حوضه‌ها در بالادست جبهه کوهستان منجر می‌شود. در این پژوهش، شکل پلانیمتری حوضه‌ها بوسیله نسبت کشیدگی توصیف می‌شود.

جدول (۷) مقادیر شاخص (Bs) را در حوضه‌های زهکشی ورکش چای، گماناب چای و نهندچای ارائه داده است. از نظر شاخص نسبت کشیدگی حوضه‌ها،

نسبت شکل حوضه حوضه‌های زهکشی نسبتاً جوان در نواحی فعال تکتونیکی تمایل دارند شکل کشیده‌ای داشته باشند. البته بعد از توقف بالآمدگی، شکل حوضه در طی زمان سریعاً دایره می‌شود (رامیرز- هررا، ۱۹۹۸، ۳۲۵). در این حوضه‌ها انرژی رودخانه به حفر معطوف می‌شود و در صورت قطع شدن بالآمدگی،

دارد. حوضه آبریز گماناب‌چای ($Bs = 2/5$) و ورکش-چای ($Bs = 1/7$) در کلاس ۳ قرار می‌گیرند.

در بین حوضه‌های زهکشی شمال تبریز، حوضه آبریز نهنده‌چای ($Bs = 3/6$) شکل کشیده‌تری دارد. از این‌رو این حوضه در کلاس ۲ از نظر فعالیت تکتونیکی قرار

جدول ۷- مقادیر شاخص (Bs) در حوضه‌های شمال تبریز و طبقات آنها از نظر فعالیت تکتونیکی

کلاس	Bs	Bw(Km)	Bl(Km)	حوضه‌ها	ردیف
۳	۱/۷	۲۱	۳۵	ورکش-چای	۱
۳	۲/۵	۱۷	۳۷/۵	گماناب‌چای	۲
۲	۳/۶	۱۱	۴۰	نهنده‌چای	۳

منابذ: نگارنده‌گان

جانبی مرتفع و در حال حفر بستر مشاهده می‌شود (سلیمانی، ۱۳۷۷، ۱۴).

در این پژوهش، برای شناسایی الگوی مثاندری حوضه‌های شمالی تبریز از شاخص سینوسی رودخانه اصلی (S) استفاده شد. نتایج محاسبه در جدول (۸) ارائه شده است. بر این اساس، مقادیر عددی کمتر از ۱/۵ شاخص (S)، نشان دهنده فعالیت تکتونیکی منطقه است و بیانگر این است که حوضه‌های منطقه هنوز به حالت تعادل نرسیده‌اند.

شاخص سینوسی رودخانه اصلی

الگوهای مثاندری در حال حفر بستر می‌توانند از نشانه‌های بالآمدگی زمین باشند. زیرا رودخانه‌ای با الگوی مثاندری نشانگر محلی است که رودخانه به سطح اساس خود نزدیک شده است. پس در نتیجه وقوع یک یا چند جابجایی قائم، منطقه بالا می‌آید و رودخانه در پاسخ به این تغییر ارتفاع و در نتیجه تغییر گرادیان، مجدد شروع به حفر بستر می‌کند و در اینجاست که رودخانه با الگوی مثاندری و دیواره‌های

جدول ۸- مقادیر شاخص (S) در حوضه‌های شمال تبریز و طبقات آنها از نظر فعالیت تکتونیکی

کلاس	S	V (Km)	C (Km)	حوضه‌ها	ردیف
۱	۱/۱۷	۳۵	۴۱	ورکش-چای	۱
۱	۱/۲	۴۰	۴۸	گماناب‌چای	۲
۱	۱/۴	۴۰	۵۷	نهنده‌چای	۳

منابذ: نگارنده‌گان

نوع سنگ واحد، فعالیت‌های تکتونیکی اخیر را آشکار نماید.

برای بررسی ارتباط شیب آبراهه با حرکات تکتونیکی منطقه، مقادیر (SI) در طول رودخانه‌های مورد مطالعه و با استفاده از DEM منطقه برای قطعات با طول ۱۰۰ متر محاسبه شدند و نمودارهای آنها برای نشان

شاخص شیب طولی رودخانه

شاخص (SI) به تغییرات شیب آبراهه بسیار حساس است و ابزار ویژه‌ای برای اندازگیری آشنازگی نیمrix طولی رودخانه محسوب می‌شود. این شاخص همبستگی خوبی با مقاومت سنگ نشان می‌دهد بعلاوه می‌تواند با تعریف بی‌نظمی‌های زیاد شاخص در یک

K_{flu} = تناوبی از شیل و ماسه سنگ کرتاسه (فلیش کونه) K_{us} = کنگلومرا بهمراه ماسه سنگ و شیل کرتاسه Pl_{lb} = گدازه‌های برشی تراکی آندزیتی پلیوسن M_2 = تناوبی از مارنهای سبز خاکستری و قرمز با درون لایه‌هایی از مارنهای ماسه‌ای میوسن M_3 = مارن به همراه ماسه سنگ میوسن M_4 = مارن به همراه ماسه سنگ میوسن M_5 = کنگلومرا قرمز با تناوبی از ماسه سنگ و مارن قرمز Pl_{Qc} = کنگلومرا نیمه سخت بهمراه میان لایه‌هایی از ماسه سنگ، پومیس و سنگهای آذرآواری پلیوکاترنس Pl_{lt} = تناوبی از توف و گدازه‌های برشی پلیوسن Qf = پادگانهای از توپ و گدازه‌های برشی پلیوسن

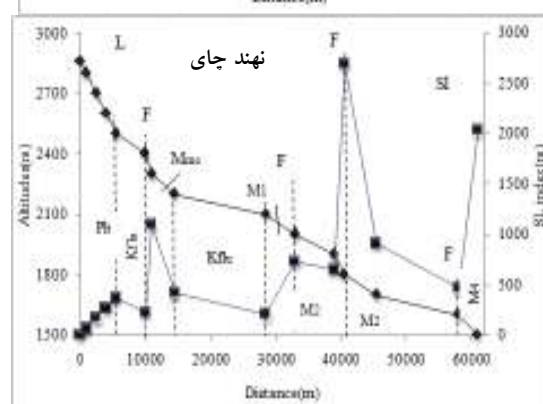
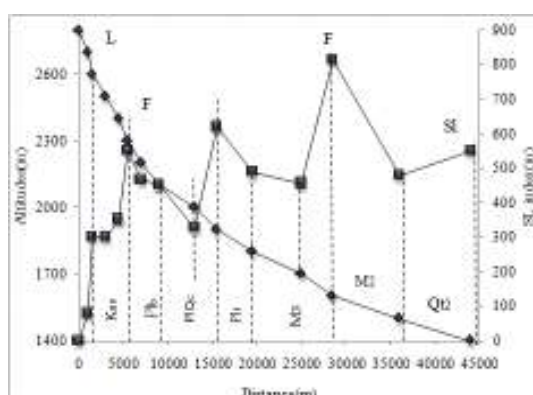
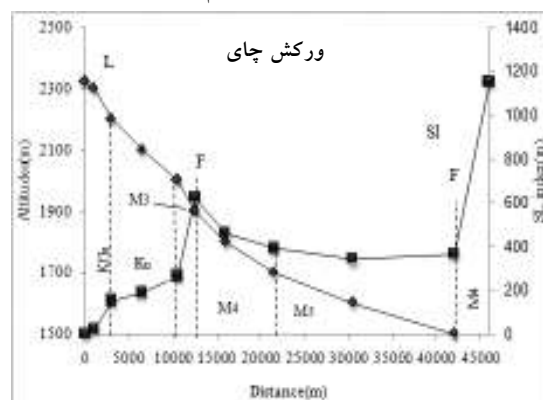
آبرفتی

نتایج مشخص می‌کند که مقادیر این شاخص در طول مسیر رودخانه‌ها با شیب یکسانی تداوم ندارد، بلکه در قسمت‌های مختلف مسیر با تغییراتی همراه است. این تغییرات بدلیل تغییر واحدهای لیتوژئی یا وجود گسل در مسیر رودخانه بوجود می‌آیند (شکل ۷).

بطوری که در ورکش چای بریدگی شیب در ۵/۵ کیلومتری رودخانه، بوسیله گسل کردکنی بوجود آمده است (شکل ۶). همچنین تغییر شیب موجود در ۲۸/۵ کیلومتری رودخانه از طریق گسل مزرعه ایجاد شده است. مقدار متوسط شاخص برای کل رودخانه ورکش چای $SI = 405/15$ متر محاسبه شده است که

فعالیت متوسط حرکات تکتونیکی را نشان می‌دهد. در گماناب چای، عملکرد گسل اصلی شمال تبریز در مسیر آبراهه اصلی در ۴۶ کیلومتری (خروجی) حوضه

دادن تاثیر لیتوژئی یا گسل در تغییرات شیب طولی رودخانه ترسیم شدن (شکل ۶). همچنین برای این منظور، مقادیر (SI) هریک از رودخانه‌های اصلی، بر روی نقشه مقاومت لیتوژئی ترسیم شدن (شکل ۷).



شکل ۶- نیمرخ و شیب طولی رودخانه‌های شمال تبریز
(ماخذ: نگارندگان)

است. نتایج ارزیابی این شاخص براساس طبقه بندی جدول (۳) نشان می‌دهد که فعالیت‌های تکتونیکی حوضه‌های شمال تبریز در طبقه زیاد قرار می‌گیرند. همچنین حوضه زهکشی نهندچای ($Iat = 1/5$) دارای فعالیت تکتونیکی زیادتری نسبت به دو حوضه دیگر می‌باشد.

جدول ۹- ارزیابی شاخص (Iat) در حوضه‌های شمال تبریز (ماخذ: نگارندگان)

حوضه‌ها	Vf	Bs	AF	T	S	Sl	Lat
ورکش- چای	۲	۳	۲	۱	۱	۲	۲
گماناب- چای	۲	۳	۲	۱	۱	۲	۲
نهندچای	۳	۲	۱	۱	۱	۱	۱/۵

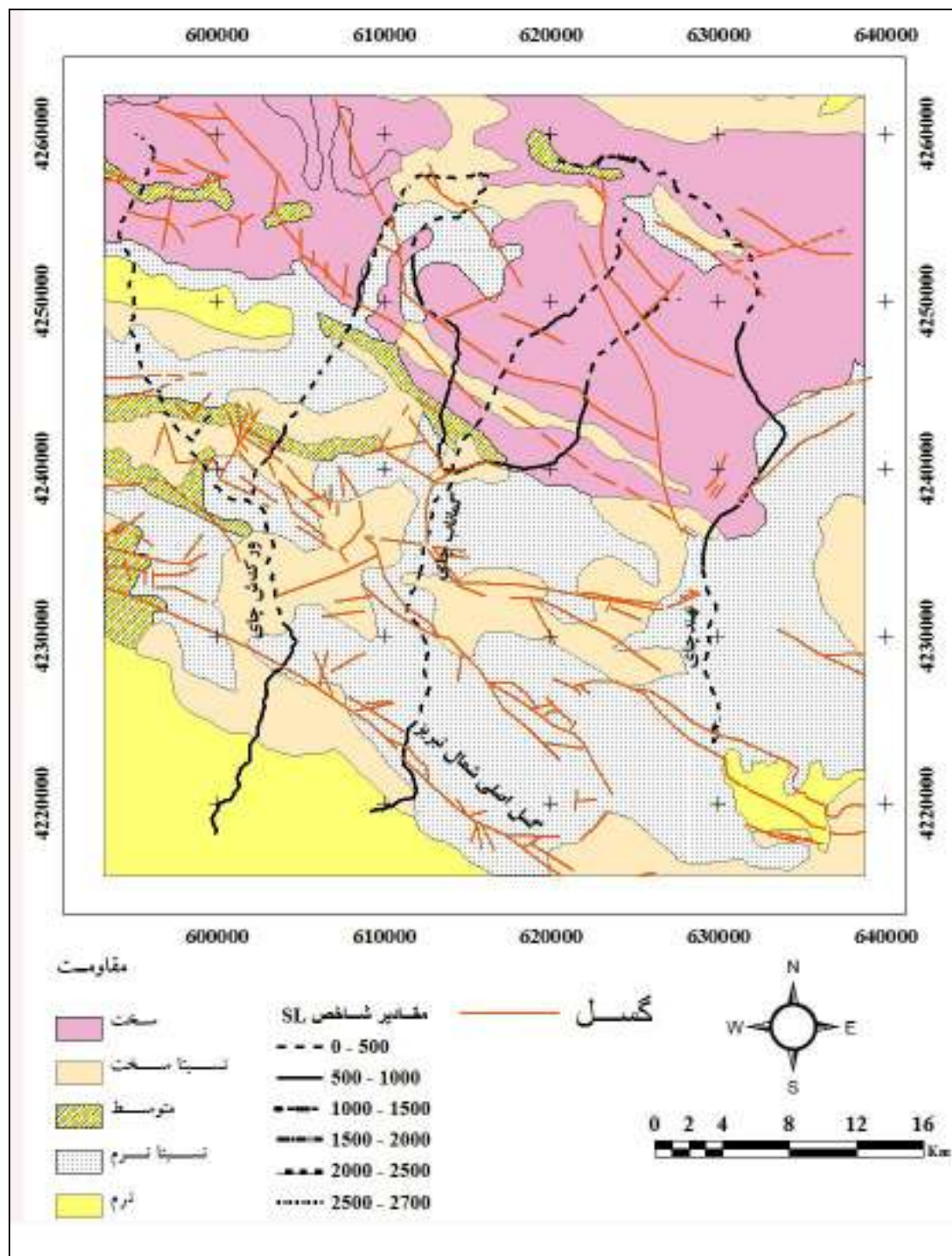
ساخت و ساز شهری پیرامون گسل زمین لرزه ای
در دهه‌های اخیر، شهر تبریز بدون توجه به سابقه و پتانسیل لرزه‌خیزی (بزرگی $7-7/3$ ریشتر) گسل تبریز که زمین‌لرزه‌های تاریخی نیز آن را تایید می‌کنند و بدون در نظر گرفتن نتایج حاصل از تحلیل شاخص‌های ژئومورفیک که منطقه را از نظر حرکات تکتونیکی فعال نشان می‌دهد، به سمت گسل اصلی شمال تبریز در حال توسعه است.

گماناب‌چای دیده می‌شود. اثر گسل در روی ماسه سنگ و مارن قرمز میوسن تغییر شیب ۱۱۵۰ متری ایجاد کرده که در نمودار مشخص است. تاثیر گسل دیگری (گسل چراغعلی) در $12/5$ کیلومتری رودخانه، به همراه تغییر واحدهای سنگ شناسی از ماسه سنگ کرتاسه به سازند قرمز فوکانی میوسن دیده می‌شود که موجب ایجاد بی‌نظمی در نیمرخ طولی رودخانه شده است. میانگین شاخص در این حوضه $SI = ۳۵۸/۸۴$ متر بدست آمده که نیمه فعال بودن فعالیت‌های تکتونیکی را در این حوضه نشان می‌دهد.

در نهندچای متوسط شاخص $SI = ۶۸۶/۰۱$ متر برآورد شده است. حداقل تغییر شیب در $40/5$ کیلومتری رودخانه بر گسل داش اسپران - تازه کند منطبق است. در محل تلاقی نهندچای با گسل سولوجه نیز میزان تغییر شیب زیادی ایجاد شده است (شکل ۷).

ارزیابی نسبی فعالیت‌های تکتونیکی در حوضه‌های شمال تبریز

پس از محاسبه و تحلیل ۶ شاخص ژئومورفیک در منطقه، برای ارزیابی نسبی فعالیت‌های تکتونیکی از شاخص (Iat) استفاده شد. مقادیر شاخص (Iat) حوضه‌های شمال تبریز در جدول (۹) ارائه شده

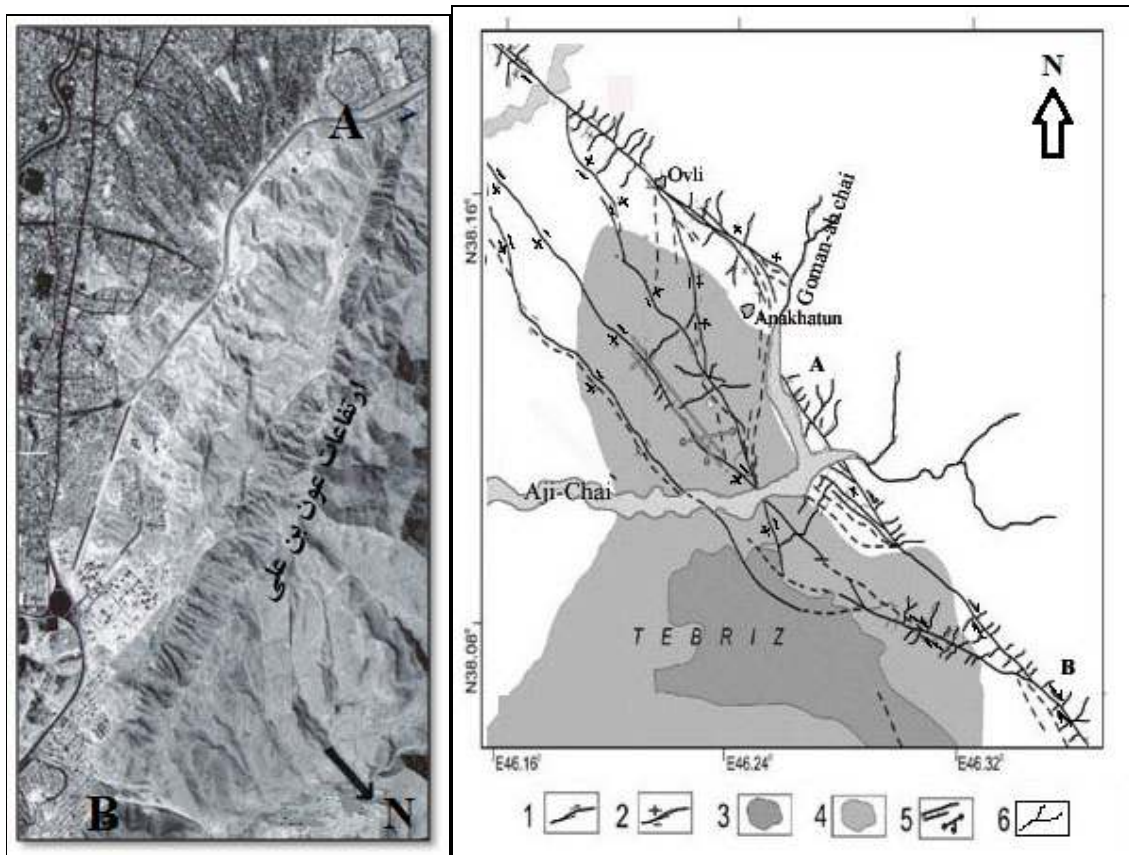


شکل ۷- نقشه مقاومت سنگ شناسی و شب طولی رودخانه های شمال تبریز (ماخذ نگارندگان)

ایجاد شده‌اند. شکل گیری دریاچه ارومیه و فرونژست قوری گل در بستان آباد نیز متأثر از جنبش‌های این گسل می‌باشد.

کوه‌های عون بن علی در شمال شهر تبریز در برگیرنده سازندۀای قرمز میوسن، چین خورددگی‌های نامتقارنی هستند که جهت یافته‌گی محور این چین‌ها نشانگر ارتباط آنها با گسل تبریز است. این چین‌ها خورددگی‌ها در فرادیواره این گسل ایجاد شده‌اند (شکل ۸).

گسل شمال تبریز را از دیدگاه جنبش‌های عهد حاضر می‌توان پویاترین عنصر ساختاری در زمین شناسی آذربایجان دانست. آزمیثوت خط امتداد این گسل در شمال شهر تبریز 13° (شمال غربی-جنوب شرقی) است. بررسیهای روی زمین نشانگر این است که لغزش کل در این گسل برآیند مولفه‌های شب لغز معکوس و امتداد لغز راستگرد می‌باشد. در راستای این سیستم امتداد لغز همگرا، اشکال توپوگرافیکی متعدد مانند رشته کوه‌های میشو، مورو، عون بن علی و شبی



شکل ۸- گسل‌های فعال در شمال تبریز (با تغییراتی از کارخانیان و همکاران، ۲۰۰۴). مقطع AB تصویر ماهواره‌ای بخشی از منطقه گسلی شمال تبریز. ۱- لغزش امتداد لغز گسل - ۲- جابجایی‌های قائم - ۳- پیرامون شهر تبریز در ۱۹۹۶-۱۹۵۰ - ۴- پیامون شهر تبریز در ۱۹۵۰-۱۹۷۰ - ۵- فرودگاه قدیمی و جدید تبریز - ۶- رودخانه

شهرنشینی موجب شده که شهر به سمت پای دامنه-های کوه عون بن علی که محل عبور گسل تبریز

گسل شمال تبریز از بخش‌های شمال شرقی، شمال و شمال غربی شهر تبریز عبور می‌کند. گسترش

بخش‌های شمالی گسل رسیده به نحوی که این گسل اکنون از میان شهرک‌های در حال احداث و به سرعت رو به گسترش عبور می‌کند.

است، کشیده شود (شکل ۹). در شهرک‌های جدید احداث باغمیشه، ولی امر، الهیه، ارم در بسیاری از موارد پهنه ساخت و ساز با تسطیح ناحیه پای دامنه به



شکل ۹- نمایی از گسترش شهر به سمت ارتفاعات عون بن علی



در سال‌های اخیر توسعه ساخت و سازها و احداث ساختمان‌های بلند و برج‌ها در پهنه گسلی ثبات این منطقه را بیش از گذشته برهم زده و خطر گسیختگی و لرزش را دوچندان کرده است (شکل ۱۰).

این در حالی است که در محلات حاشیه شهر در امتداد پایکوه‌های عون بن علی (محل عبور گسل)، ساختمان‌هایی وجود دارند که با مصالح نامرغوب ساخته شده‌اند و نمی‌توانند در برابر زمین‌لرزه‌ای با بزرگی متوسط مقاومت کنند. سکونتگاه‌های غیراستاندارد روی دامنه‌های شیبدار، کوچه‌های باریک و شیبدار، تراکم خانه‌ها و جمعیت و نبود فضای باز، مخاطرات ناشی از وقوع زمین‌لرزه را در این منطقه به شدت افزایش داده است (شکل ۱۰).

لرزه‌ها، در پیرامون گسل تبریز در نزدیکی شهر تبریز و حوضه‌های مورد مطالعه وجود دارد. نتیجه تحلیل شاخص‌های رئومورفیک در حوضه‌های شمال تبریز، فعالیت تکتونیکی زیاد منطقه را نشان می‌دهد.

به این ترتیب، شهر تبریز در یک منطقه مخاطره آمیزی از نظر حرکات تکتونیکی واقع شده است. این امر می‌باشد در مباحث برنامه ریزی و توسعه شهری و اجرای برنامه‌های عمرانی مورد توجه مسئولین شهری قرار گیرد. این در حالی است که شهر تبریز با جمعیتی بیش از ۱/۵ میلیون نفر هر روز به سمت پایکوهای ارتفاعات عون بن علی (محل عبور گسل) کشیده می‌شود. در سال‌های اخیر توسعه ساخت و سازها و احداث ساختمان‌های بلند و برج‌ها در پهنه گسلی ثبات منطقه را برهم زده و خطر گسیختگی و لرزش را دو چندان کرده است. از سویی دیگر در محلات حاشیه نشین شهر- در امتداد پایکوهای عون بن علی- ساختمان‌هایی وجود دارند که با مصالح نامرغوب ساخته شده‌اند و نمی‌توانند در برابر زمین- لرزه‌ای با بزرگی متوسط مقاومت کنند. این وضعیت مخاطرات ناشی از وقوع زمین‌لرزه را در این منطقه به شدت افزایش داده است.



شکل ۱۰- رواج برج سازی و بلند مرتبه سازی بر روی گسل در شهرک‌های جدید احداث تبریز (بالا و پایین سمت راست)، ساختمان‌های غیراستاندارد حاشیه شهر تبریز در پای کوه‌های عون بن علی (پایین سمت چپ(خبرگزاری مهر، ۱۳۹۰))

نتیجه گیری

هدف این پژوهش ارزیابی گسلش فعال حوضه‌های زهکشی و رکش‌چای، گماناب چای و نهنده‌چای در شمال شهر تبریز می‌باشد. بررسی وضعیت لرزه‌خیزی گسل تبریز نشان می‌دهد که میزان لغزش راستگرد این گسل می‌تواند زمین‌لرزه‌های به بزرگی $\frac{7}{3}$ - ۷ ریشتر با دوره برگشت ۲۵۰-۳۰۰ سال را به همراه داشته باشد. تحلیل نقشه سایزمو تکتونیکی، تراکم کانون زمین‌لرزه‌ها را بصورت خوش در دو انتهای گسل تبریز نشان می‌دهد. یک خوش مترافق از کانون زمین-

منابع

- آقاباتی، سیدعلی، (۱۳۸۷)، گسل‌ها و نقش آنها بر زمین-شناسی ایران، رشد زمین‌شناسی، شماره ۳، صص ۲۶-۲۰.
- پور کرمانی، محسن و حمید صدیق، (۱۳۸۲)، پدیده‌های رئومورفولوژیکی گسل تبریز مجله جغرافیا و توسعه شماره ۳. صص ۴۴-۳۷.
- زارع، مهدی، (۱۳۸۰)، خطر زمین‌لرزه و ساخت و ساز در حریم گسل شمال تبریز و حریم گسلش گسل‌های

- Keller, E.A., Pinter, N., (2002), Active tectonics: Earthquake Uplift, and Landscape. Prentic Hall, Newjersey.
- Martini, P.M., Hessami, k., Pantosi,D., Addezio, G., Alinaghi, H., Ghafory-Ashtiani, M., (1998), A geologic contribution to the evaluation of seismic potential of the kahrizak fault (Tehra, Iran). *Tectonophysics*, 287,187-199.
- Masson, F., Anvari,, Djamour, Y., Walpersdorf,A., Tavakoli, F., Daignieres,M., Nankali,H., Van Grops,S., (2007), Large scale velocity field and strain tensor in Iran inferred from GPS measurements: new insight for the present day deformation pattern within NE Iran. *Geophysical J. international* 170, 436-440.
- Masson, F.,Djamour,Y., Van Grops,S., Chery, J., Tatar, M., Tavakoli, F., Nankali, H., Varnant, P., (2006), Extension in NW Iran driven by the motion of the south Caspian basin. *Earth Planetary Science Letters* 252,180-188.
- Nilforoushan,F., Masson, F., Varnant,P., Vignyy,C., Martinod,J., Abbassi,M., Nankali,H., Hatzfeld,D., Bayer,R., Tavakoli, F., Ashtiani, A., Doerflingers,M., Collard,P., Chery,J., (2003), GPS network monitors the Arabia-Eurasia collision deformation in Iran. *J.Geogesy* 77, 411-422.
- Ramirez- Herrera, M.T.,(1998), Geomorphic Assessment of active tectonic in the Acambay Graben, Mexican Volcamic belt, *Earth Surface and landforms* 23,317-322.
- Reilinger,R., McClusky,S., Vernant,P., et al., (2006), GPS constraints on continental deformation in the Africa-Arabia-Eurasia continental collision zone and implication for the dynamics of plate interactions. *J. Geophys. Res.* 111, B05411. Doi: 10.1029/2005JB004051.
- Siahkali Moradi, A., Hatzfeld, D., Tatar,M., (2011), Microseismicity and seismotectonics of the North Tabriz fault (Iran), *Tectonophysics* 506 (4), 22-30.
- Tatar,M., Hatzfeld, D.,(2009), Microseismic evidence of slip partitioning for the Rudbar-Tarom earthquake of 1990 Junein NW Iran, *Geophys.J.Int.* 176, 529-541.
- Vernant,P.,Chery,J.,(2006),Low fault friction in Iran implies localized deformation for the Arabia-Eurasia collision zone, *Earth Planet.Sci.Lett.*, 246,197-206.
- Yamini-fard, F., Hatzfeld, D., Tatar,M., Mokhtari, M., (2006), Microseismic at the intersection between the Kazerun fault and the Main Recent Fault (Zagros-Iran), *Geophys.J.Int.*, 166,186-196.
- زمین لرزه‌ای. پژوهشنامه زلزله شناسی و مهندسی زلزله. شماره ۲ و ۳. صص ۴۶-۵۷.
- سازمان زمین‌شناسی، (۱۳۷۲)، شرح نقشه زمین‌شناسی (۱۰۰۰۰۰) ۱:۱، چهارگوش تبریز.
- سلیمانی،شهریار، (۱۳۷۸)، رهنمودهایی در شناسایی حرکات تکتونیکی فعال و جوان، موسسه بین المللی زلزله شناسی و مهندسی زلزله، صص ۵۶-۵۵.
- سوگرا،---، (۱۳۵۲)، بررسی کوتاهی از زمین‌شناسی جلگه تبریز، ترجمه مقصود خیام، نشریه دانشکده ادبیات و علوم انسانی دانشگاه تبریز، شماره ۱-۴. ۳۹.
- کرمی، فریب، (۱۳۹۱)، ارزیابی نسبی تکتونیک فعال با استفاده از روش‌های مورفومتری در حوضه‌های شمالی و شرقی کوه سهند، فضای جغرافیایی، شماره مولانا، یاسمین السادات، (۱۳۹۰)، زلزله ترکیه زنگ هشدار گسل تبریز را نواخت. گزارش خبرگزاری مهر
- Ashtari,M., Hatzfeld, D., Kamalian,N., (2005), Microseismicity in the region of Tehran, *Tectonophysics* 395, 193-208.
- BerBerian, M. (1997), Seismic Sources of transcaucasian earthquake. In: Giardin,: D., and Balassanian, S.(Eds),Historical and Perhistorical earthquakes in the Cauacas., pp.233-311. Kluwer Academic Publishers, Dordrecht.
- Djamour, Y., Vernant,Ph., Nankali, H.R., Tavakoli, F., (2011), NW Iran – eastern Turkey present – day kinematics: Results from the Iranian permanent GPS network, *Earth and Planetary Science Letters* 307 (1-2), 27-34.
- Hamdouni, R.E., Irigaray,C., Fernandez,T., Chacon,J., keller E.A., (2008), Assessment of relative active tectonic, South west border of the Sierra Nevada (Southern Spain). *Geomorphology*, 96, 150-173.
- Hesami, k., Jamali,F., (2006), Explanatory notes to map of ajar active faults of Iran, *JSEE*: Spring, Vol.8, No1, 1-11.
- Karakhanian, A., Trifonov, V., Philip, H., Hessami, kh., Jamali, F., Bayraktutan, M.S., Bagdassarian, H., Arakelian, S.,Adilkhanyan, A., (2004), *Tectonphysics*,380,189-219.